

## تعیین ضرایب هیدرودینامیکی زیرسطحی‌ها به روش تست مدل

بهنام صادق‌زاده پارپاری<sup>۱\*</sup>, محمد سعید سیف<sup>۲</sup>, حمید مهدی‌قلی<sup>۳</sup>

- ۱- کارشناس ارشد مهندسی مکانیک - دریا، مرکز پژوهشی مهندسی دریا دانشگاه صنعتی شریف
- ۲- استاد، قطب علمی هیدرودینامیک و دینامیک متجر کهای دریایی، دانشکده مهندسی مکانیک دانشگاه صنعتی شریف
- ۳- دانشیار، دانشکده مهندسی مکانیک دانشگاه صنعتی شریف

### چکیده

در سال‌های اخیر استفاده از وسایل بدون سرنشیین به دلیل کاهش خطرات انسانی در بخش دریا بسیار مورد توجه قرار گرفته‌اند. بر این اساس تخمین ضرایب هیدرودینامیکی یک وسیله زیر سطحی هوشمند در مرحله طراحی بسیار مهم است. به عبارت دیگر برای طراحی یک زیرسطحی هوشمند باید قابلیت کنترل و مانور آن توسط مدل‌های ریاضی دقیق مورد بررسی قرار گیرد. مدل ریاضی شامل نیروها و ممانهای هیدرودینامیکی است که به صورت ضرایب هیدرودینامیکی بیان می‌شوند. بنابراین جهت شبیه‌سازی دقیق کارکرد زیرسطحی بدست آوردن مقدار دقیق این ضرایب ضروری است.

با اینکه در سالهای اخیر روش‌های عددی پیشرفته‌های قابل توجیه داشته‌اند اما هنوز هم روش تست تجربی مدل قابل اعتمادتر بوده و معمولاً وسایل دریایی ساخته نمی‌شوند مگر اینکه مدل آن تست شده باشد.

زیرسطحی-2 SUT-2 یک زیرسطحی هوشمند است که در مرکز پژوهشی مهندسی دریا دانشگاه صنعتی شریف ایران طراحی و ساخته شده است. تست مدل در حوضچه کشش آزمایشگاه مهندسی دریا انجام گردیده و نتایج آن در مدل‌سازی دینامیکی و طراحی زیرسطحی فوق مورد استفاده قرار گرفته است.

در این مقاله روش تعیین ضرایب هیدرودینامیکی بدنه زیرسطحی هوشمند-2 SUT-2 به روش تست مدل و ویژگی‌های آن‌ها تحلیل گردیده است. این ضرایب می‌توانند برای مدل‌سازی دینامیکی و طراحی کنترلر هوشمند مورد استفاده قرار گیرند. روش ارائه شده محدود به زیرسطحی-2 SUT-2 نبوده و در بررسی و طراحی انواع وسایل و ربات‌های زیردریایی قابل استفاده خواهد بود.

**کلمات کلیدی:** ضرایب هیدرودینامیکی، زیرسطحی هوشمند، مدل‌سازی دینامیکی، تست مدل

## Identification of Underwater Vehicle Hydrodynamic Coefficients Using Model Tests

B. Sadeghzadeh Parapari<sup>1</sup>, M. S. Seif<sup>2</sup>, H. Mahdigholi<sup>3</sup>

1- M.Sc. in Mech. Eng.- Marine, Marine Eng. Research Center Sharif University of Technology

2- Professor, Mech. Eng. Dept., Sharif University of Technology

3-Associate Professor, Mech. Eng. Dept., Sharif University of Technology

### Abstract

In recent years, unmanned vehicles have intensively been developed to reduce human dangers for marine applications. Predicting the hydrodynamic coefficients of an autonomous underwater vehicle is important during the vehicle's design phase. In other words to design an AUV, one must clarify its maneuverability and controllability based on a mathematical model. The mathematical model contains various hydrodynamic forces and moments expressed

\* نویسنده مسؤول مقاله Behnam.sadeghzadeh@gmail.com

collectively in terms of hydrodynamic coefficients. Therefore, the correct values of the coefficients must be known to precisely design the controller of AUVs.

Despite of remarkable progress in numerical analysis in recent years, But the experimental methods test modes is still more reliable. No marine vehicle will be manufactured unless its model been tested clearly first.

SUT-2 is an AUV, being developed by Marine Engineering Research Center Sharif University of Technology in Iran. Model test done into marine engineering laboratory towing tank.

In this paper hydrodynamic coefficients calculated with model test of autonomous underwater vehicle and hydrodynamic forces analyzed. This coefficients are used for dynamic modeling and autonomous controller design.

**Keywords:** Hydrodynamic Coefficient, Autonomous Underwater Vehicles (AUV), Dynamic Modeling, Model test

## ۱- مقدمه

میدان جریان اطراف زیرسطحی و محاسبه توزیع فشار روی وسیله مورد توجه قرار گرفته است [۱]. با این روش نیروها و ممانهای وارد بر وسیله قبل محاسبه خواهد بود. همچنین می‌توان از آزمایش مدل در حوضچه کشش برای تخمین ضرایب هیدرودینامیکی وسیله استفاده نمود. روش دیگر ساخت نمونه اصلی و تست آن خواهد بود. روش‌های تحلیلی و نیمه تجربی<sup>۳</sup> نیز می‌توانند در مراحل اولیه طراحی جهت تخمین ضرایب هیدرودینامیکی، قابلیت مانور و انتخاب سطوح کنترل به کار روند.

محاسبه ضرایب هیدرودینامیکی زیردریایی‌ها و زیرسطحی‌های هوشمند در مقالات بسیاری چون هامفریز<sup>۴</sup> (۱۹۸۱)، میدا و تاتسوتا<sup>۵</sup> (۱۹۸۹)، ناهون<sup>۶</sup> (۱۹۹۳، ۱۹۹۶) بالمن<sup>۷</sup> (۱۹۹۰)، پرسترو<sup>۸</sup> (۲۰۰۱) و ریدلی<sup>۹</sup> و همکارانش (۲۰۰۳) مورد توجه قرار گرفته‌اند [۱]. از روش‌های پیشرفته‌تر جهت طراحی زیرسطحی‌های هوشمند می‌توان به بهینه‌سازی همزمان بدنه و سطوح کنترلی (سیلوستر<sup>۱۰</sup>) و همکارانش (۱۹۹۸) به طوری که مشخصات هندسی وسیله نقش اساسی در تخمین ضرایب هیدرودینامیکی داشته باشد اشاره نمود [۲].

در این مقاله به اصول روش تعیین ضرایب با استفاده از تست مدل پرداخته شده و نمونه نتایج در خصوص زیرسطحی SUT-2 ارائه گردیده است. زیرسطحی SUT-2 در سال‌های اخیر طراحی و ساخته شده است [۳].

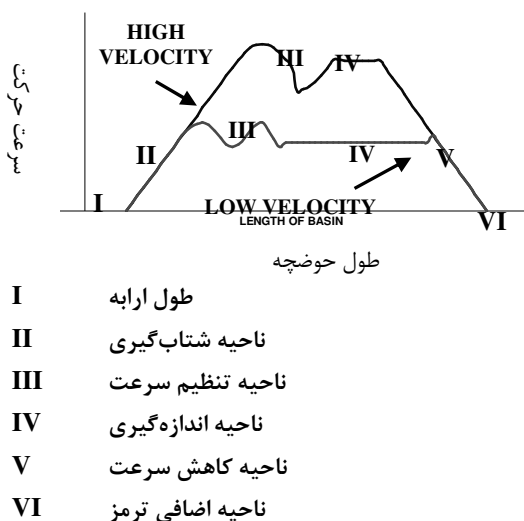
طی دهه‌های اخیر وسیله‌های بدون سرنوشتین به دلیل کاهش خطرات انسانی در بخش دریا بسیار مورد بهره‌برداری قرار گرفته‌اند. در مهندسی زیرسطحی و عملیات دریایی نیز این موضوع اهمیت ویژه‌ای یافته و بدلیل محدودیت در تأمین توان مورد نیاز برای رانش و تجهیزات جانبی وسیله زیرسطحی، تخمین دقیق نیروهای مورد نیاز برای انجام مأموریت امری ضروری است. بر این اساس تخمین ضرایب هیدرودینامیکی یک وسیله زیر سطحی هوشمند<sup>۱</sup> در مرحله طراحی بسیار مهم است. به عبارت دیگر برای طراحی یک AUV باید قابلیت کنترل و مانور آن توسط مدل‌های ریاضی دقیق مورد بررسی قرار گیرد. مدل ریاضی شامل نیروها و ممانهای هیدرودینامیکی می‌باشد که به صورت ضرایب هیدرودینامیکی بیان می‌شوند. بنابراین جهت شبیه‌سازی دقیق کارکرد AUV بdst آوردن مقدار دقیق این ضرایب ضروری خواهد بود.

همانطور که مرسوم است به منظور مطالعه و بررسی هیدرومکانیکی وسیله‌های دریایی بجای تحلیل کامل آن توسط مدل‌های ریاضی می‌توان از مدل‌های فیزیکی کوچک به منظور پیش‌بینی رفتار یک سیستم با ابعاد واقعی استفاده کرد.

روشهای تخمین ضرایب هیدرودینامیکی وسیله‌های مغروق مشابه روش‌های استفاده شده برای هواپیماها و موشک‌ها است. این ضرایب معمولاً توسط آزمایش، تحلیل عددی یا روابط تجربی محاسبه می‌گردند. اخیراً با توجه به قابلیت‌های کامپیوتراهای قدرتمند، استفاده از دینامیک سیالات محاسباتی<sup>۲</sup> جهت شبیه‌سازی

در اکثر کانالهای کشش از ارابه<sup>۱۱</sup> جهت حرکت مدل استفاده می‌گردد. به صورت معمول ارابه به وسیله نیروی الکتریکی بر روی ریلهایی در بالای حوضچه رانده می‌شود و اتصال آن به مدل توسط دینامومتری است که نیروهای وارد به مدل را در طول رانش در سرعت ثابت و یا در حرکت شتاب‌دار اندازه می‌گیرد.

شکل ۱ حوضچه کشش مرکز پژوهشی مهندسی دریا را نشان می‌دهد. سیستم کشش حوضچه مرکز پژوهشی مهندسی دریا از نوع ارابه ریلی است. در این حوضچه سرعت ارابه بین صفر تا  $6 \text{ m/s}$  قابل تغییر بوده و توسط کاربر کنترل می‌شود. انجام دقیق آزمایش با سرعت یکنواخت ارابه امکان پذیر می‌باشد. شکل ۲ نواحی مختلف سرعت ارابه را نشان می‌دهد. در این شکل نواحی مختلف شتاب‌گیری، تنظیم سرعت، ناحیه اندازه‌گیری، کاهش سرعت و متوقف شدن ارابه نشان داده شده است.



شکل ۲- نواحی مختلف سرعت ارابه

در سیستم کشش دانشگاه شریف، امکان اندازه‌گیری پارامترهایی مانند نیروی مقاوم در مقابل حرکت، تغییرات زاویه‌ای<sup>۱۲</sup>، نیروی عرضی<sup>۱۳</sup>، تغییرات آبخور، گشتاور ایجاد شده و سرعت لحظه‌ای در راستای حرکت وجود دارد. همچنین تست‌های مختلفی از جمله تست تجهیزات زیرآب مانند پروانه، سکان و انواع زیردریایی‌ها قابل انجام است. نیروی محرکه سیستم کشش توسط یک الکتروموتور دور متغیر جریان متناوب تأمین شده و

## ۲- تست مدل در طراحی وسیله‌های دریایی

روش تست مدل در مقیاس کوچکتر یکی از ابزارهای مهم در مهندسی دریا به شمار می‌رود که روش مؤثری در پیشرفت این دانش بوده است. این روش متنکی بر آنالیز ابعادی بوده و در اصل روشی است برای به دست آوردن اطلاعات کافی در مورد مسائلی که درک تحلیلی آنها به دلیل زیاد بودن پارامترهای مؤثر در مسأله بسیار پیچیده است. مزیت بزرگ این روش این است که با شناخت متغیرهای حاکم بر مسأله می‌توان آنها را به گروههای بی‌بعد تبدیل و تعداد پارامترها را کاهش داد.

کاربرد این روش در طراحی و بهینه‌سازی زیرسطحی‌ها نیز قابل توجه است. چرا که فاکتورهای مهم مورد نیاز برای طراحی زیرسطحی از جمله نیروی محرکه، فرم بدنه، قابلیت مانور و... را می‌توان توسط آن مشخص نمود. امروزه حتی با پیشرفت علوم و تکنولوژی و به وجود آمدن نرم‌افزارهای قوی در زمینه طراحی، هنوز هم تست مدل یکی از مهمترین روشها در طراحی و تخمین اولیه فرم بدنه وسیله‌های دریایی به شمار می‌رود. در دهه‌های اخیر با توسعه الگوریتم‌های مناسب و افزایش سرعت محاسبات رایانه‌ها، روش‌های عددی نیز به عنوان جایگزینی مناسب برای تست مدل مطرح شده‌اند. اما هنوز روش‌های عددی با تکیه بر شبیه‌سازی کامپیوتراً به طور کامل نمی‌توانند جایگزین روش‌های تجربی شوند بلکه به عنوان مکمل در کنار آنها می‌توانند مفید باشند.



شکل ۱- حوضچه کشش مرکز پژوهشی مهندسی دریا

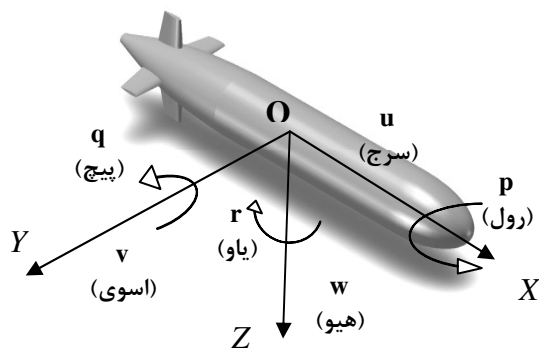
رینولدز کاویتاسیون و  $(R_e = \frac{VL}{V})$  ریزکشان باشد. در صورتی که تنش سطحی آب هم اهمیت داشته باشد باید عدد و بر  $(\sigma = \frac{p - p_v}{\rho V^2})$  نامنیه اصلی هم برابر شود. در اینجا فرض شده است اثر کاویتاسیون و تنش سطحی ناچیزند. پس از برقراری تشابه‌های لازم بین مدل و نمونه اصلی، به کمک نتایج آزمایش مدل و تحلیل ابعادی می‌توان نیروهای وارد به وسیله را محاسبه و رفتار نمونه اصلی را ارزیابی کرد.

#### ۴- معادلات دینامیکی حرکت

معمولًا بررسی حرکت به دو بخش تقسیم می‌شود: سینماتیک، که فقط جنبه هندسی حرکت را بررسی می‌کند و سینتیک که به تحلیل نیروهای به وجود آورنده حرکت می‌پردازد.

معمولًا مبدأ محور مختصات متصل به بدنه در مرکز جرم وسیله انتخاب می‌شود. در زیرسطحی‌ها، محورهای X Y Z منطبق با محورهای اصلی اینرسی بوده و به صورت زیر تعریف می‌شوند:

X: محور طولی (جهت از دم به سمت دماغه)، Y: محور عرضی (جهت به سمت استاربورد<sup>۱۴</sup>)، Z: محور عمودی (جهت از بالا به پایین). شکل ۳ محورهای مختصات تعریف شده را نشان می‌دهد.



شکل ۳- تعریف دستگاه مختصات و نمادگذاری

معادله غیرخطی حرکت در دستگاه مختصات متصل به بدنه به صورت زیر قابل بیان می‌باشد [۳]:

کنترل و داده‌برداری توسط رایانه انجام می‌شود. مشخصات کلی کanal و سیستم کشش در جدول ۱ ذکر گردیده است.

جدول ۱- مشخصات کلی کanal و سیستم کشش مرکز پژوهشی مهندسی دریا

نوع سیستم کشش	طول × عرض × عمق کanal (متر)
Carriage + Electromotor (4kw)	۱/۲×۲/۵×۲۵
بیشینه سرعت کشش	$6 \frac{m}{s}$
بیشینه شتاب کشش	$2 \frac{m}{s^2}$

#### ۳- اصول تشابه

همانگونه که اشاره شد، امروزه با اینکه روش‌های عددي در تحلیل هیدرودینامیکی رفتار شناورها پیشرفت قابل توجهی داشته است اما هنوز تست مدل از اجزای ضروری طراحی وسیله‌های دریایی به شمار می‌رود. معمولاً تست مدل توسط وسیله‌ای در ابعاد کوچکتر انجام می‌گیرد. برای اینکه بتوان نتایج حاصل از تست مدل را به نمونه واقعی تعمیم داد باید تشابه کاملی بین مدل و وسیله اصلی برقرار کرد و این هنگامی رخ می‌دهد که از سه لحاظ هندسی، سینماتیکی و دینامیکی تشابه برقرار شود.

معمولًا برقراری تشابه هندسی کامل در ابعاد اصلی انجام پذیر است اما در جزئیات به دشواری عملی می‌شود. به عنوان مثال ایجاد تشابه با در نظر گرفتن زبری سطح دشوار است و معمولاً در نظر گرفته نشده و تمهدیاتی برای کاهش خطاهای ناشی از آن اندیشه‌یده می‌شود.

برای جریان سیال تراکم ناپذیر، وقتی اعداد فرود (معمولًا به دو صورت تعریف می‌شود:  $Fn = \frac{V}{\sqrt{g \cdot L}}$  و  $Fn_{\nabla} = \frac{V}{\sqrt{g \cdot \nabla^{\frac{1}{3}}}}$ ) برای مدل و نمونه

اصلی یکسان شود، تشابه سینماتیکی به دست می‌آید [۴]. این تشابه برای شناورهای سطحی و یا زیرسطحی‌های نزدیک به سطح آب مهم می‌باشد. برای تشابه دینامیکی وسیله‌های زیرسطحی باید اعداد

$$g(\eta) = \begin{bmatrix} 0 \\ 0 \\ 0 \\ -\overline{BG}_y Wc \theta c\phi + \overline{BG}_z Wc \theta s\phi \\ \overline{BG}_z Ws\theta + \overline{BG}_x Wc \theta c\phi \\ -\overline{BG}_x Wc \theta s\phi - \overline{BG}_y Ws\theta \end{bmatrix} \quad (6)$$

نهایتاً، ماتریس نیروها و ممانهای جلوبرنده ( $\tau$ ) شامل دو مؤلفه نیروها و ممانهای ناشی از پروانه و نیروها و ممانهای ناشی از سطوح کنترلی می‌باشد [۱۰، [۱۱]. مؤلفه‌های ماتریس‌های جرم افزوده ( $M_A$ )، گریز از مرکز و کریولیس ( $C_A(v)$ ) و میرایی هیدرودینامیکی ( $D(v)$ ) را که در مجموع تعداد آنها ۱۰۸ ضریب می‌باشد را ضرایب هیدرودینامیکی بدنه می‌نامند. ضرایب هیدرودینامیکی تابعی از شکل بدنه بوده و بیانگر نیروها و ممانهای هیدرودینامیکی وارد بر وسیله در محیط زیر آب هستند. با ساده‌سازی‌های انجام شده برای بدنه مقارن محوری مفروق، تعداد ۸۲ ضریب صفر یا بسیار نزدیک صفر هستند [۱۲]. تعداد دیگر نیز با هم برابر بوده یا با توجه به ضرایب دیگر قابل محاسبه است. در نهایت ۳ ضریب از ماتریس جرم افزوده ( $M_q$ ) و ۴ ضریب از ماتریس میرایی هیدرودینامیکی ( $X_d, Y_d, K_d, M_d$ ) باقی می‌ماند [۱۲].

جرم افزوده در جهت  $X$  در اثر شتاب وسیله در جهت  $X$  ( $\dot{X}_u$ )،  $Y$  ( $\dot{Y}_v$ )، جرم افزوده در جهت  $Y$  در اثر شتاب وسیله در جهت  $Y$  ( $\dot{M}_q$ ) و جرم افزوده در اثر شتاب دورانی  $q$  می‌باشد.  $X_d$  میرایی در جهت  $X$  است و بقیه ضرایب میرایی هم به همین ترتیب تعریف می‌شوند.

با توجه به امکانات مرکز پژوهشی مهندسی دریای دانشگاه صنعتی شریف، امکان محاسبه ۲ ضریب ( $X_d, Y_d$ ) از ۳ ضریب ماتریس جرم افزوده و ۲ ضریب ( $X_d, Y_d$ ) از ۴ ضریب ماتریس میرایی هیدرودینامیکی وجود دارد.

جهت محاسبه ضرایب جرم افزوده از روابط زیر استفاده می‌شود:

$$(M_{RB} + M_A)v + (C(v) + D(v))v + g(\eta) = \tau \quad (1)$$

ماتریس جرم جسم صلب ( $M_{RB}$ ) با رابطه (۲) نشان داده شده است. با مشخص بودن ابعاد، تجهیزات، جنس بدنه و همچنین جانمایی وسیله مؤلفه‌های مختلف ماتریس فوق قابل محاسبه می‌باشد [۵].

$$M_{RB} = \begin{bmatrix} m & 0 & 0 & 0 & mx_G & -my_G \\ 0 & m & 0 & -mx_G & 0 & mx_G \\ 0 & 0 & m & my_G & -mx_G & 0 \\ 0 & -mx_G & my_G & I_x & -I_{xy} & -I_{xz} \\ mx_G & 0 & -mx_G & -I_{yx} & I_y & -I_{yz} \\ -my_G & mx_G & 0 & -I_{zx} & -I_{zy} & I_z \end{bmatrix} \quad (2)$$

ماتریس جرم افزوده ( $M_A$ ) با رابطه (۳) و ماتریس گریز از مرکز و کریولیس هیدرودینامیکی ( $C(v)$ ) نیز با رابطه (۴) بدست می‌آیند. مؤلفه‌های مختلف این ماتریس با تست مدل با شتاب ثابت محاسبه می‌گردد [۶].

$$M_A = -\text{diag}\{X_{\dot{u}}, Y_{\dot{v}}, Z_{\dot{w}}, K_{\dot{p}}, M_{\dot{q}}, N_{\dot{r}}\} \quad (3)$$

$$C_A(v) = \begin{bmatrix} 0 & 0 & 0 & 0 & -Z_w w & Y_v v \\ 0 & 0 & 0 & Z_w w & 0 & -X_u u \\ 0 & 0 & 0 & -Y_v v & X_u u & 0 \\ 0 & -Z_w w & Y_v v & 0 & -N_r r & M_q q \\ Z_w w & 0 & -X_u u & N_r r & 0 & -K_p p \\ -Y_v v & X_u u & 0 & -M_q q & K_p p & 0 \end{bmatrix} \quad (4)$$

جمله میرایی هیدرودینامیکی ( $D(v)$ ) در رابطه (۱) با معادله (۵) به دست می‌آید. این جملات نیز با تست مدل با سرعت ثابت تعیین می‌شوند [۷].

$$D(v) = \text{diag}\{X_d, Y_d, Z_d, K_d, M_d, N_d\} \quad (5)$$

ماتریس نیروها و ممانهای بازگرداننده ( $g(\eta)$ ) نیز با معادله (۶) به دست می‌آید. مقادیر مؤلفه‌های این ماتریس با مشخص بودن موقعیت مرکز جرم قابل محاسبه خواهند بود [۸، [۹].

میرایی در جهت Y:

$$Y_d = Y_{uv} uv + Y_{v|w} v |w| \quad (10)$$

همچنین برخی از ضرایب وابسته به شکل زیر قابل محاسبه هستند:

ضریب جرم افزوده در راستای محور Z به دلیل شتاب در جهت Z یعنی  $\dot{w}$ :

$$Z_d = Y_v \quad (11)$$

میرایی در جهت Z:

$$Z_d = Y_d = Z_{uw} uw + Z_{w|w} w |w| \quad (12)$$

ضریب درگ نیز به عنوان معیاری بدون بعد از نیروی درگ وارد بر وسیله به صورت زیر تعریف می‌گردد:

$$C_D = \frac{F}{\frac{1}{2} \rho A u^2} \quad (13)$$

با فرض ثابت بودن عدد رینولدز، ضریب درگ را می‌توان به صورت تابعی درجه دوم از زاویه حمله به صورت زیر در نظر گرفت [۱۲]:

$$C_D = a\alpha^2 + b\alpha + c \quad (14)$$

در این صورت با فرض کوچک بودن زاویه حمله  $\sin \alpha \approx \alpha$  به دست می‌آید [۱۲]:

$$\begin{aligned} X_{u|u} &= -\left(\frac{1}{2}\rho A\right)c \\ X_{uw} &= X_{uv} = -\left(\frac{1}{2}\rho A\right)b \\ Z_{uw} &= -Y_{uv} = -\left(\frac{1}{2}\rho A\right)\left(a - \frac{c}{2}\right) \\ X_{v|w} &= X_{w|w} = -\left(\frac{1}{2}\rho A_{transverse}\right)(C_L)_{Transverse} \end{aligned} \quad (15)$$

جهت محاسبه ۲ ضریب ماتریس جرم افزوده  $(Y_d, X_u, X_v)$  تست مدل در حوضچه کشش با شتاب ثابت بصورت طولی و عرضی انجام می‌شود.

جهت محاسبه ۲ ضریب ماتریس میرایی هیدرودینامیکی  $(X_d, Y_d)$  تست مدل در زوایای

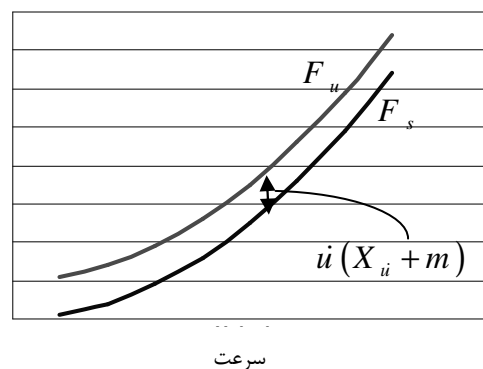
ضریب جرم افزوده در راستای محور X به دلیل شتاب در جهت X یعنی  $\dot{u}$ :

$$X_d = \frac{(F_u)_x - (F_s)_x}{\dot{u}} - m \quad (7)$$

ضریب جرم افزوده در راستای محور Y به دلیل شتاب در جهت Y یعنی  $\dot{v}$ :

$$Y_d = \frac{(F_u)_y - (F_s)_y}{\dot{v}} - m \quad (8)$$

انتظار می‌رود بدلیل فرض غیرلزج بودن سیال در حرکت شتابدار، منحنی نیرو بر حسب سرعت  $(F_u)$  تقریباً درجه دو بوده و اختلاف آن با منحنی نیرو بر حسب سرعت در حالت پایا<sup>۱۵</sup> ( $F_s$ ) در همه سرعت‌ها تقریباً مقدار ثابتی باشد. شکل تقریبی این منحنی‌ها در شکل ۴ نشان داده شده و نحوه محاسبه  $X_d$  در صورت وجود نتایج آزمایشگاهی مشخص شده است.



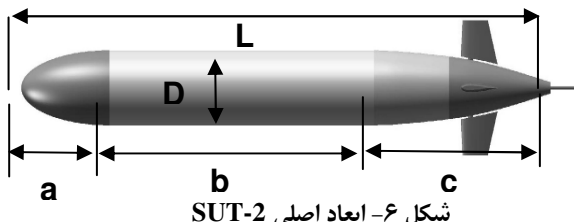
شکل ۴- نحوه محاسبه ضرایب جرم افزوده

با بسط تیلور نیروهای وارد بر وسیله در حرکت پایا و ساده سازی معادلات حاصل بر اساس تقارن محوری وسیله، روابط زیر برای محاسبه ضرایب میرایی بدست می‌آیند [۳]:

میرایی در جهت X:

$$\begin{aligned} X_d &= X_{u|u} u |u| + X_{uv} uv \\ &\quad + X_{uw} uw + X_{v|w} v |w| \\ &\quad + X_{w|w} w |w| \end{aligned} \quad (9)$$

است.<sup>۱۷</sup> شکل ۶ و جدول ۲ ابعاد اصلی SUT-2 را نشان می‌دهند. در شکل ۷ جانمایی تجهیزات زیرسطحی SUT-2 نشان داده شده است.

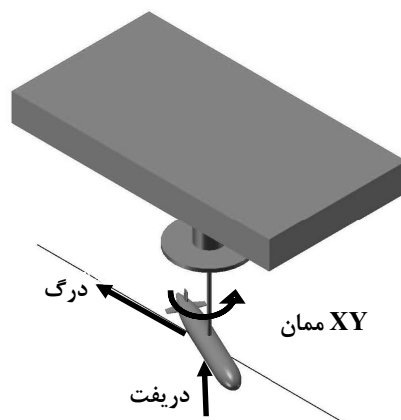


شکل ۶- ابعاد اصلی SUT-2

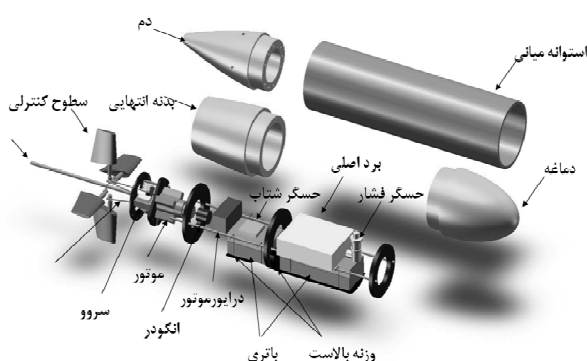
جدول ۲- ابعاد اصلی SUT-2 (میلی‌متر)

۱۴۱۲	L	طول کل
۲۰۰	D	قطر
۲۳۵	a	طول دماغه
۷۰۶	b	طول استوانه میانی
۴۷۱	c	طول دم

حمله متفاوت (زاویه حمله صفر و حداقل سه زاویه حمله دیگر به عنوان مثال ۵، ۱۰، ۱۵ و ۱۵ درجه) با سرعت ثابت انجام می‌شود. تکرار تست در سرعت‌های متفاوت (۴ سرعت بین حداقل و حداقل سرعت تست) و نیز افزایش تعداد زاویه حمله، باعث افزایش دقت در محاسبه ضرایب خواهد شد. نیروهای اندازه‌گیری شده توسط دینامومتر در شکل ۵ نشان داده شده است.



شکل ۵- نیروهای اندازه‌گیری شده توسط دینامومتر



شکل ۷- جانمایی تجهیزات SUT-2

در این تحقیق مدل بدن و سطوح کنترل پس از طراحی و رعایت اصول تست و تشابه در کارگاه ساخت مدل مرکز پژوهشی مهندسی دریا ساخته شده است. در ادامه به جزئیات مدل‌های ساخته شده پرداخته شده است.

#### ۱-۵- مدل بدن

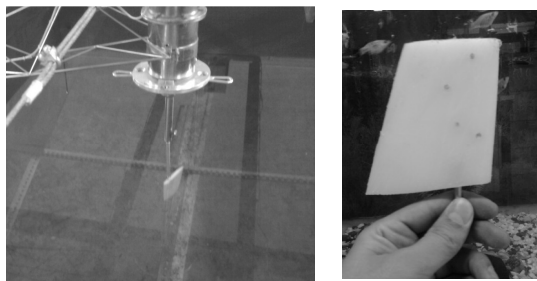
مدل ساخته شده از جنس پلی‌آمید بوده و به روش تراشکاری ساخته شده است. نسبت ابعادی مدل  $\frac{1}{4}$

تست سطوح کنترل نیز در حوضچه کشش انجام شده است. اندازه‌گیری‌ها در زوایای ۵-۳۵ درجه در ۴ سرعت متفاوت انجام گردیده است. لازم به ذکر است در هر دو تست مدل بدن و سطوح کنترل، مدل توسط میله‌ای به دینامومتر متصل می‌شود. این میله باعث وارد آمدن خطای در نیروها و ممانهای ثبت شده می‌گردد. با تست میله بدون مدل می‌توان تأثیر آن را اندازه‌گیری و از نتایج نهایی کم نمود.

#### ۵- نتایج تجربی

همانگونه که اشاره شد طراحی و ساخت زیرسطحی هوشمند-2 SUT در سال ۱۳۸۷ آغاز گردید [۳]. طراحی خطوط بدن این زیرسطحی بر اساس بدن مایرینگ<sup>۱۶</sup> انجام گرفت. این شکل بدن در بسیاری از مقالات علمی استفاده شده و به عنوان بهترین خطوط بدن از لحاظ کاهش ضریب درگ بدن و جانمایی بهتر نسبت به خطوط بدن از دری شکل دیگر شناخته شده

**۲-۵- مدل سطوح کنترل**  
سطوح کنترل ساخته شده جهت نصب بر روی زیرسطحی در ابعاد واقعی مورد آزمایش قرار گرفته است. شکل ۱۰-الف سطوح کنترل زیرسطحی را نشان می‌دهد. در شکل ۱۰-ب سطوح کنترل زیرسطحی بر روی ارابه حوضچه کشش نشان داده شده است.



الف- نمونه سطوح  
ب- سطوح کنترل بر روی ارابه  
حوضچه کشش

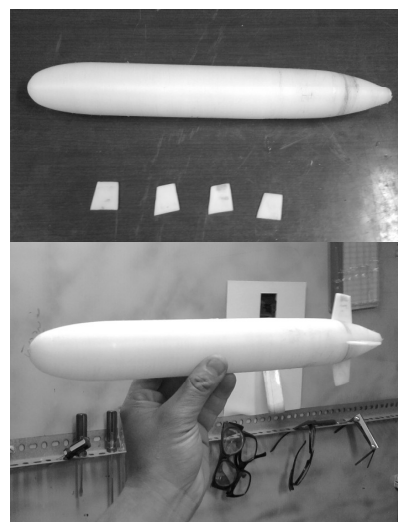
شکل ۱۰- سطوح کنترل زیرسطحی ۲

**۳-۵- تست بدنه با متعلقات**  
همانطور که قبلاً نیز اشاره شد، تشابه کامل مدل و نمونه واقعی در عمل غیر ممکن است. در این تحقیق سعی شده است تا مقایسه نتایج مدل‌سازی عددی و تست مدل در محدوده اعداد رینولدز برابر انجام شود. بدین منظور عدد رینولدز مدل برای قرار گرفتن در ناحیه جریان آشفته، بالای  $10^5$  نگه داشته می‌شود. در تست مدل در حالت کشش عرضی به دلیل محدودیت دینامومتر در ثبت نیروهای بزرگ و امکان آسیب دیدن دینامومتر، تست‌ها در محدوده جریان آرام انجام شده است.

عمق غوطه‌وری ۵ برابر قطر وسیله بوده و با توجه به مشاهدات در این عمق، تأثیرات سطح آزاد قبل صرفنظر کردن می‌باشد.

شکل ۱۱ نمودار نتایج تست مدل در حرکت طولی رو به جلو با زاویه حمله صفر درجه را در شتاب‌های مختلف نشان می‌دهد. خط رگرسیون چندجمله‌ای درجه دوم برای هر شتاب نیز رسم شده است. نمودار نیرو بر حسب سرعت برای حالت پایا نیز جهت مقایسه در شکل فوق رسم گردیده است.

می‌باشد. شکل ۸ مدل ساخته شده را نشان می‌دهد. در جدول ۳ نیز ابعاد کلی مدل ساخته شده ارائه شده است. شکل ۹ نیز نحوه نصب مدل بر روی ارابه حوضچه کشش در تست با حرکت جانبی را نشان می‌دهد.



شکل ۸- مدل  $\frac{1}{4}$  زیرسطحی ۲

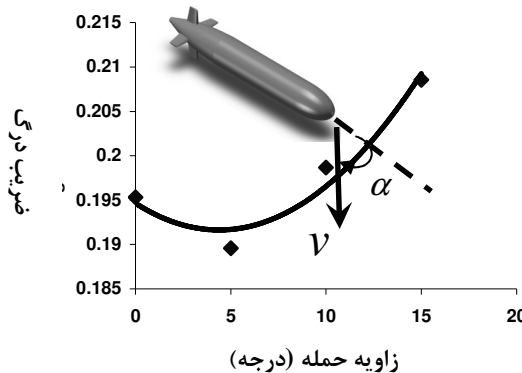
جدول ۳- ابعاد کلی مدل  $\frac{1}{4}$  زیرسطحی ۲

نمونه اصلی (میلی‌متر)	مدل (میلی‌متر)	طول کل
۲۵۳	۱۴۱۲	L
۵۰	۲۰۰	قطر
۵۹	۲۳۵	طول دماغه
۱۷۶	۷۰۶	طول استوانه میانی
۱۱۸	۴۷۱	طول دم



شکل ۹- نصب مدل بر روی ارابه حوضچه کشش

که توضیح داده شد با استفاده از ضرایب رگرسیون مرتبه دو این منحنی، ضرایب میرایی هیدرودینامیکی وسیله قابل محاسبه خواهند بود.



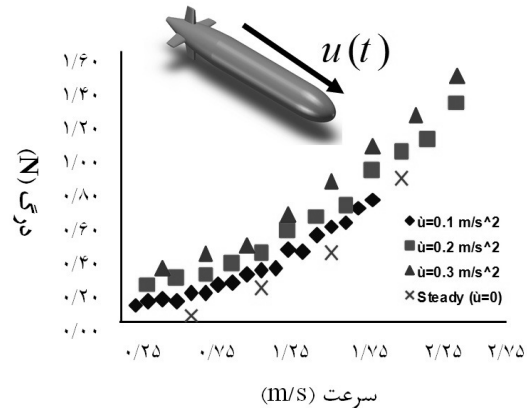
شکل ۱۳- نمودار ضریب درگ بر حسب زاویه حمله و خط رگرسیون چندجمله‌ای درجه دوم

جدول ۴ ضرایب هیدرودینامیکی محاسبه شده را نشان می‌دهد. نتایج حاصل با نتایج تست زیرسطحی ریموس<sup>۱۸</sup> که دارای هندسه کاملاً مشابه است، مقایسه شده است. مقایسه نتایج تست مدل با نتایج زیرسطحی ریموس خطایی در حدود حداکثر ۶/۶ درصد را نشان می‌دهد.

جدول ۴- ضرایب هیدرودینامیکی زیرسطحی-2 و SUT-2 و مقایسه آن‌ها

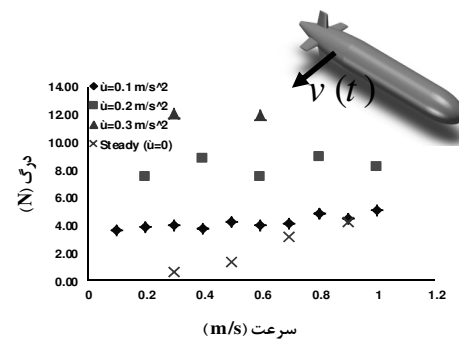
اختلاف (%)	REMUS	SUT-2	ضریب پی‌بعد
۱/۸۳	-۰/۰۰۰۷۶۶	-۰/۰۰۰۷۸۰	$X'_u$
۶/۹۰	-۰/۰۰۲۹	-۰/۰۰۳۱	$Y'_v$
۶/۹۰	-۰/۰۰۲۹	-۰/۰۰۳۱	$Z'_w$
۴/۰۷	-۰/۰۰۳۴۴	-۰/۰۰۳۳۰	$X'_{u \mu }$
۴/۰۰	-۰/۱۰۰	-۰/۰۹۶	$Y'_{v \psi }$
۴/۰۰	-۰/۱۰۰	-۰/۰۹۶	$Z'_{w \psi }$
***	*	-۰/۰۰۰۱۴	$X'_{uv}$
***	*	-۰/۰۰۰۱۴	$X'_{uw}$
۳/۰۰	۰/۰۰۱۰۰	۰/۰۰۱۰۳	$X'_{v \psi }$
۳/۰۰	۰/۰۰۱۰۰	۰/۰۰۱۰۳	$X'_{w \psi }$
۴/۰۷	-۰/۰۰۳۴۴	-۰/۰۰۳۳۰	$Y'_{uv_d}$
۴/۰۷	-۰/۰۰۳۴۴	-۰/۰۰۳۳۰	$Z'_{uw_d}$

با توجه به شکل ۴ و توضیحات ارائه شده، ضریب جرم افزوده  $X_u$  با استفاده از این نتایج قابل محاسبه می‌باشد. نتایج تست، مقدار عددی این ضریب برای مدل را  $X_u = 0.017 \text{ (kg)}$  نشان می‌دهد.



شکل ۱۱- نتایج تست مدل در حرکت طولی رو به جلو با زاویه حمله صفر درجه در شتاب‌های مختلف

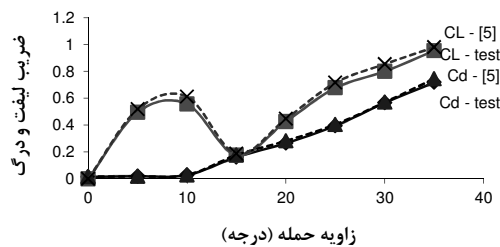
شکل ۱۲ نمودار نتایج تست مدل در حرکت عرضی (با زاویه حمله ۹۰ درجه) را در شتاب‌های مختلف نشان می‌دهد. خط رگرسیون چندجمله‌ای درجه دوم برای هر شتاب رسم شده است. نمودار نیرو بر حسب سرعت برای حالت پایا نیز جهت مقایسه رسم گردیده است تا بتوان ضریب جرم افزوده  $Y_v$  با استفاده از آن محاسبه نمود. نتایج تست، مقدار عددی این ضریب برای مدل را  $Y_v = Z_w = 0.682 \text{ (kg)}$  نشان می‌دهد.



شکل ۱۲- نتایج تست مدل در حرکت عرضی (با زاویه حمله ۹۰ درجه) در شتاب‌های مختلف

شکل ۱۳ نمودار ضریب درگ بر حسب زاویه حمله و خط رگرسیون چندجمله‌ای درجه دوم را نشان می‌دهد. همانطور

ملی سندیای نیومکزیکو بر روی مقطع NACA0015 مقایسه شده است [۱۳].



شکل ۱۶- ضرایب بدون بعد لیفت و درگ سطوح کنترل زیرسطحی SUT-2 بر حسب زاویه حمله

#### ۴-۵- تست سطوح کنترل

همانگونه که به آن اشاره گردید تست سطوح کنترل در ابعاد واقعی انجام گردیده است. مزیت اصلی تست در ابعاد واقعی، از بین بردن خطای ناشی از تحلیل ابعادی و عدم تشابه کامل مدل و نمونه اصلی است.

عمق غوطه‌وری ۲ برابر ارتفاع سطوح کنترلی در نظر گرفته شده که باعث می‌گردد از اثرات سطح آزاد صرف‌نظر شود.

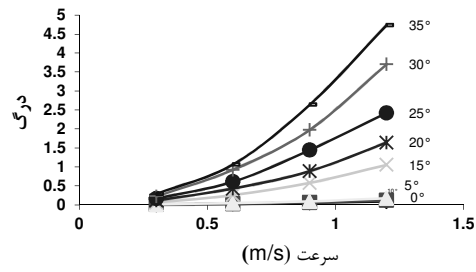
شکل ۱۴ نمودار نیروی درگ بر حسب سرعت و شکل ۱۵ نمودار نیروی لیفت بر حسب سرعت را برای زوایای حمله مختلف سطوح کنترل نشان می‌دهد.

**۶- تست خودرانش وسیله در ابعاد اصلی**  
زیرسطحی SUT-2 پس از اتمام مرحله طراحی جزئیات و بررسی‌های هیدرولاستانیکی، هیدرودینامیکی، مکانیکی و الکترونیکی وارد مرحله ساخت گردید. شکل ۱۷ نمونه واقعی زیرسطحی SUT-2 را در کنار مدل  $\frac{1}{4}$  آن نشان می‌دهد.

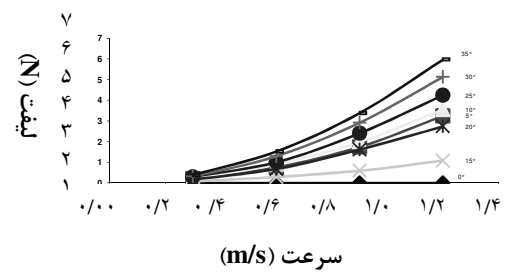


شکل ۱۷- زیرسطحی SUT-2 و مدل  $\frac{1}{4}$

تست‌های اولیه این زیرسطحی به صورت کنترل از راه دور انجام گردیده و در مرحله نصب حسگرها و تجهیزات خودکنترلی می‌باشد. شکل ۱۸ زیرسطحی SUT-2 را در حال به آب اندازی نشان می‌دهد.



شکل ۱۴- نمودار نیروی درگ بر حسب سرعت برای زوایای حمله مختلف سطوح کنترل



شکل ۱۵- نمودار نیروی لیفت بر حسب سرعت برای زوایای حمله مختلف سطوح کنترل

با توجه به نمودارهای شکل‌های ۱۴ و ۱۵ ضرایب بدون بعد لیفت و درگ قابل محاسبه می‌باشند. نمودار شکل ۱۶ ضرایب بدون بعد لیفت و درگ سطوح کنترل زیرسطحی SUT-2 بر حسب زاویه حمله را نشان می‌دهد. نتایج حاصل از تست با نتایج تست آزمایشگاه

مدلهای ریاضی می‌توان از مدل‌های فیزیکی کوچک به منظور پیش‌بینی رفتار یک سیستم پیچیده استفاده کرد. امروزه با اینکه روش‌های عددی در تحلیل هیدرودینامیکی رفتار شناورها پیشرفت قابل توجهی داشته است اما هنوز تست مدل از اجزای ضروری طراحی وسیله‌های دریایی به شمار می‌رود. تست مدل توسط وسیله‌ای در ابعاد کوچکتر انجام می‌گیرد. با توجه به آزمایش‌های صورت گرفته و مقایسه نتایج، دقت روش و اندازه‌گیری‌های صورت گرفته قابل قبول بوده و می‌توان از روش فوق در ارزیابی هیدرودینامیکی زیرسطحی‌های مختلف استفاده کرد.

### کلید واژگان

- 1-Autonomous Underwater Vehicle (AUV)
- 2-Computational Fluid Dynamics (CFD)
- 3-Analytical and Semi Empirical
- 4-Humphreys
- 5-Maeda and Tutsuta
- 6- Nahon
- 7- Bohlmann
- 8- Prestero
- 9- Ridley
- 10- Silvestre
- 11- Carriage
- 12- Trim
- 13- Drift
- 14- Starboard) سمت راست وسیله)
- 15- Steady State
- 16- Myring,1976
- 17- Jun, B.-H.,et al. 2008
- 18- REMUS, 2009



شکل ۱۸- زیرسطحی SUT-2 در حال به آب اندازی

به دلیل محدودیت دینامومتر حوضچه کشش در اندازه‌گیری نیرو و ممان وارد و همچنین عدم قابلیت حوضچه کشش دانشگاه شریف در تست‌های مانور، امکان تست نمونه واقعی زیرسطحی در حوضچه کشش وجود ندارد. به همین دلیل تست خود رانش وسیله با نصب حسگرهای لازم و در حوضچه‌ای با اندازه کافی در نظر گرفته شده است. شکل ۱۹ زیرسطحی SUT-2 را در حال مانور در حوضچه مرکز پژوهشی مهندسی دریا نشان می‌دهد.



شکل ۱۹- زیرسطحی SUT-2 در حال مانور در حوضچه مرکز پژوهشی مهندسی دریا

### ۷- جمع‌بندی و نتیجه‌گیری

در این مقاله ضرایب هیدرودینامیکی بدنه یک زیرسطحی هوشمند به روش تست مدل محاسبه و نیروهای هیدرودینامیکی تحلیل گردیده است. بدین منظور روش تست مدل بدنه و سطوح کنترل در مرکز پژوهشی مهندسی دریایی دانشگاه صنعتی شریف ایران تدوین و اجرا گردید. این ضرایب برای مدلسازی دینامیکی و طراحی کنترلر هوشمند مورد استفاده قرار می‌گیرند.

ضرایب هیدرودینامیکی وسیله‌های زیرسطحی معمولاً توسط آزمایش، تحلیل عددی یا روابط تجربی محاسبه می‌گردند. به منظور مطالعه و بررسی هیدرومکانیکی وسیله‌های دریایی بجا تحلیل کامل آن توسط

مُؤلفه سرعت دورانی در راستای محور y	$\frac{rad}{s}$	q
مُؤلفه سرعت دورانی در راستای محور z	$\frac{rad}{s}$	r
مکان‌های اویلری زواياي اويلري	$m$	x,y,z $,\theta,\psi\phi$
ماتریس جرم جسم صلب		$M_{RB}$
ماتریس جرم افزوده		$M_A$
ماتریس گریز از مرکز و کربولیس هیدرودینامیکی		$C(v)$
ماتریس میرایی هیدرودینامیکی		$D(v)$
ماتریس نیروها و ممان‌های بازگرداننده		$g(\eta)$
ماتریس نیروها و ممان‌های جلوبرنده		$\tau$
重心 واقعی وسیله	$kg$	$m$
موقعیت مرکز جرم	$m$	$, y_G \quad x_G$
ممان‌های اینرسی		
		$, I_{xy} \quad I_x$
		$I_y \cdot I_{xz}$
		$, I_{yz} \quad I_{yx}$
		$, I_{zy} \quad I_{zx}$
		$I_z$
ضرایب جرم افزوده، به عنوان مثال :		
جرم افزوده در راستای محور x	$kg$	$X_u, Y_v$
دلیل شتاب در راستای محور x یعنی است.	$kg/m$	$Z_w$
		$K_p, M_q$
		$N_r$
ضرایب میرایی هیدرودینامیکی، به عنوان مثال		$X_d, Y_d, Z_d$
میرایی در جهت x است.	$N$	$K_d$
	$N - m$	$M_d$
		$N_d$
موقعیت مرکز جرم نسبت به مرکز شناوری.	$m$	$\frac{BG_x}{BG_y}$ $\frac{BG_y}{BG_z}$

## فهرست علائم و اختصارات

عدد فرود	-	$F_n$
سرعت وسیله	$\frac{m}{s}$	V
شتاب گرانش زمین	$\frac{m}{s^2}$	g
طول وسیله	$m$	L
قطر وسیله	$m$	D
عدد فرود حجمی	-	$F_{n_V}$
حجم وسیله (جابجایی)	$m^3$	$\nabla$
عدد رینولدز	-	$R_e$
لرجه سینماتیکی	$\frac{m^2}{s}$	$\nu$
عدد کاویتاپیون	-	$\sigma$
فشار	$pa$	p
فشار بخار اشباع	$pa$	$p_v$
چگالی	$\frac{kg}{m^3}$	$\rho$
کشش سطحی	$\frac{kg}{s^2}$	$\gamma$
مُؤلفه نیرو در راستای محور x	$N$	X
مُؤلفه نیرو در راستای محور y	$N$	Y
مُؤلفه نیرو در راستای محور z	$N$	Z
مُؤلفه ممان در راستای محور x	$N - m$	K
مُؤلفه ممان در راستای محور y	$N - m$	M
مُؤلفه ممان در راستای محور z	$N - m$	N
مُؤلفه سرعت در راستای محور x	$\frac{m}{s}$	u
مُؤلفه سرعت در راستای محور y	$\frac{m}{s}$	v
مُؤلفه سرعت در راستای محور z	$\frac{m}{s}$	w
مُؤلفه سرعت دورانی در راستای محور x	$\frac{rad}{s}$	p

- Sadeghzadeh Parapari, Mahdigholi, Seif, 2009. (In Persian)
- 4-“Fluid Mechanics”, Frank M. White, University of Rhode Island.
- 5-“State-dependent Riccati equation-based robust dive plane control of AUV with control constraints”, Mugdha S. Naik, Sahjendra N. Singh, Ocean Engineering 34-1711–1723, 2007.
- 6-“Sensitivity of AUV added mass coefficients to variations in hull and control plane geometry”, Doug Perrault et al., Ocean Engineering 30 (2003) 645–671, 2003.
- 7-“Sensitivity of AUV response to variations in hydrodynamic parameters”, Doug Perrault et al., Ocean Engineering 30 (2003) 779–811, 2003.
- 8-“Design of an adaptive nonlinear controller for depth control of an autonomous underwater vehicle”, Ji-Hong Li et al., Ocean Engineering 32 (2005) 2165–2181, 2005.
- 9-“Planar trajectory planning and tracking control design for under actuated AUVs”, Filoktimon Repoulias, Evangelos Papadopoulos, Ocean Engineering 34-1650–1667, 2007.
- 10-“Navigation of an AUV for investigation of underwater structures”, Hayato Kondo et al., Control Engineering Practice 12 (2004) 1551–1559, 2004.
- 11-“On the Prediction of Maneuverability of the Autonomous Underwater Vehicle, AUV-HMI”, 0-7803-4273-9/98 IEEE, 1998.
- 12-“Submarine Dynamic Modeling”, Peter Ridley, Julien Fontan, Peter Corke
- 13-“Aerodynamic Characteristics of Seven Airfoil Sections Through 180 Degrees Angle of Attack for Use in Aerodynamic Analysis of Vertical Axis Wind Turbines”, Sheldahl, R. E. and Klimas, P. C., SAND80-2114, March 1981, Sandia National Laboratories, Albuquerque, New Mexico.

وزن واقعی وسیله	$N$	$W$
نیروی وارد بر وسیله در حرکت شتاب دار	$N$	$F_u$
نیروی وارد بر وسیله در حرکت پایا	$N$	$F_s$
مؤلفه‌های شتاب خطی وسیله	$\frac{m}{s^2}$	$,v,w,u$
زیضرایب میرایی هیدرودینامیکی، به عنوان مثال	$X_{u u} $ $kg$	$X_{uv}, X_{uw}$ $X_{v v} , X_{w w} $
میرایی در جهت $x$ به دلیل حرکت در جهت $x$ با سرعت ثابت $u$ است.	$m$	$Y_{uv_d}, Y_{v v} $ $Z_{uw_d}, Z_{w w} $
ضریب درگ	-	$C_D$
ضریب لیفت	-	$C_L$
نیرو	$N$	$F$
سطح مقطع عرضی وسیله، سطح رو به جریان	$m^2$	$A$
زاویه حمله	$rad$	$\alpha$
ضرایب رگرسیون مرتبه دو ضریب درگ بر حسب زاویه حمله	-	$a,b,c$
ضریب درگ در حرکت عرضی	-	$(C_D)_{Transverse}$
ضریب لیفت در حرکت عرضی	-	$(C_L)_{Transverse}$
سطح رو به جریان در حرکت عرضی	$m^2$	$A_{Transverse}$

## - مراجع -

- 1-“Investigation of a method for predicting AUV derivatives”, E.A. de Barros , A. Pascoal , E. de Sa, Ocean Engineering 35 - 1627–1636, 2008
- 2-“Dynamics modeling and performance evaluation of an autonomous underwater vehicle”, Jason Evans, Meyer Nahon, Elsevier, 2004.
- 3-“Numerical Simulation of Flow Around SUT-2 Autonomous Underwater Vehicle”,